



نهمین کنگره ملی مهندسی شیمی ایران

دانشگاه علم و صنعت ایران  
۱۳۸۳ آذر، ماه ۵-۳

## مطالعه تخریب حرارتی در سنتز پلی-L- لاکتايد به روش پلیمر شدن حلقه گشا در توده مذاب

طاهره دارستانی فراهانی\*، علی اکبر انتظامی، حمید مؤبدی  
تهران صندوق پژوهشگاه پلیمر و پتروشیمی ایران، پژوهشکده فرایند، گروه لاستیک

پستی: ۱۴۹۶۵/۱۱۵

*T.Darestani @.ippi.ac.ir*

### چکیده

یکی از روش‌های متداول برای سنتز سنتز پلی استر های زیست تخریب پذیر مانند پلی (L-لاکتايد) پلیمر شدن توده مذاب است اما دمای بالای واکنش در این روش باعث تخریب حرارتی پلیمر در حال سنتز می‌شود بنابراین انتخاب دما و زمان سنتز برای دستیابی به حداکثر وزن مولکولی اهمیت بسیار زیادی دارد. حداکثر وزن مولکولی و دمای دستیابی به آن با دمای واکنش رابطه مستقیم داشته و در دماهای سنتز پایین از دمای ذوب پلیمر، حداکثر وزن مولکولی و سرعت تخریب تغییرات زیادی با دما ندارند اما در دمای بالاتر از نقطه ذوب پلیمر امکان تخریب پلیمرها بیش از سایر دماها است. دمای انتقال شیشه‌ای (Tg) و ذوب پلی (L- لاکتايد) های به ترتیب در محدوده ۶۹-۱۶۰ و ۶۵-۱۸۰ درجه سانتیگراد قرار داشته و با وزن مولکولی پلیمر رابطه مستقیم دارند.

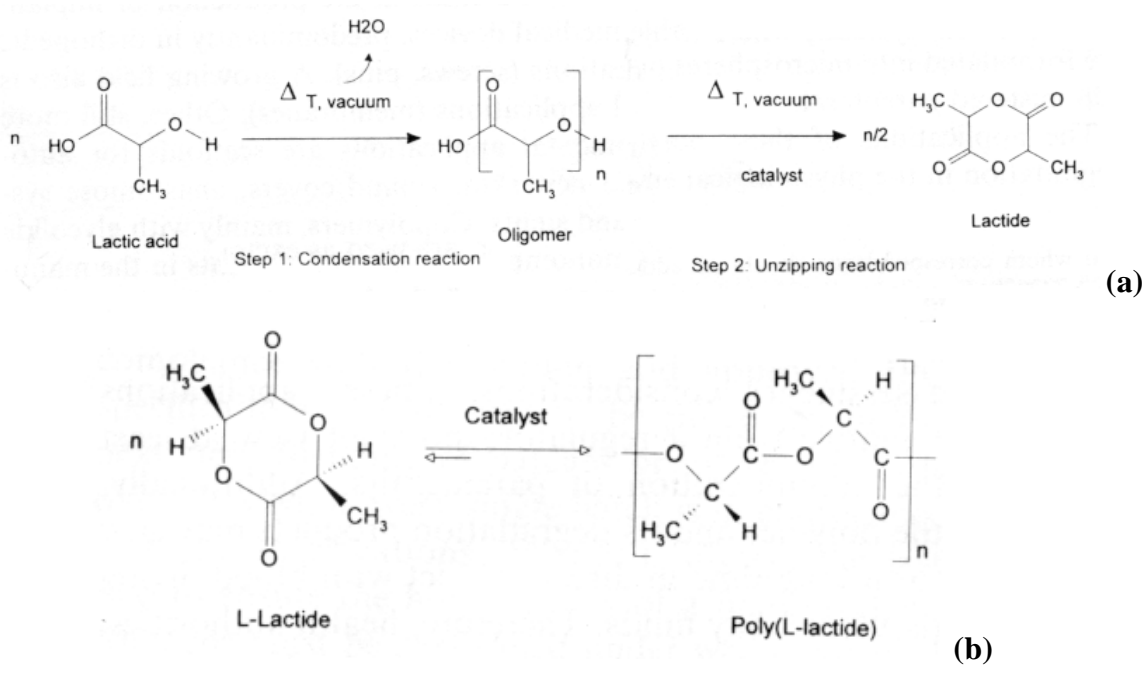
**کلمات کلیدی:** پلی لاکتايد، پلی لاکتیک اسید، پلیمر شدن توده مذاب، پلیمر شدن حلقه گشا، لاکتايد

## مقدمه

پلی استر های آلیفاتیک یکی از پرمصرف ترین پلیمرهای زیست تخریب پذیر در زمینه پزشکی هستند.<sup>[۱]</sup> پلی لاكتیک اسید یکی از این پلیمر ها است که معمولاً گونه با وزن مولکولی بالای آن را پلی لاكتاید نامند؛ زیرا برای سنتز آن از دی استرهای حلقوی لاكتیک اسید (لاكتاید) استفاده می شود.

لاكتیک اسید دارای کربن نامتقارن بوده و از نظر نوری فعال است، بنابراین پلیمرهای لاكتیک اسید نیز از نظر نوری فعال بوده و ایزومر های نوری ای با خواص متفاوت دارد، پلی (L- لاكتاید) یک پلیمر نیمه بلورین است که مقاومت و پایداری خوبی داشته و در ساخت محصولات کاشتنی جراحی برای ثابت کردن در داخل بدن به کار می رود، اما پلی (D,L-لاكتاید) که از پلیمریزاسیون مخلوط را سمیک دو نوع L و D لاكتاید تهیه می شود از نظر نوری خنثی و کاملاً آمورف بوده ، استحکام مکانیکی آن کمتر از پلی (L- لاكتاید) و سرعت تخریب آن بیشتر است. این پلیمر در ساخت وسایل جراحی، که مقاومت و استحکام کمتری نیاز دارند و همچنین در زمینه رهایش کنترل شده دارو به کار می رود<sup>[۴]</sup>.

پلی لاكتیک اسید با وزن مولکولی پایین را می توان از طریق پلی استریفیکاسیون لاكتیک اسید تهیه کرد<sup>[۴]</sup>. اما وزن مولکولی کم این پلیمر ها استفاده از آنها در کاربردهای پزشکی را به سیستم های کنترل رهایش دارو محدود کرده است که در آن نقش ماتریس را ایفا کرده و نیاز به مقاومت مکانیکی بالای ندارند<sup>[۷-۸]</sup>. پلیمرهای با وزن مولکولی بالا از لاكتاید و به روش پلیمر شدن حلقة گشا(Ring- Polymerization) تهیه می شوند<sup>[۷-۸]</sup>[شکل ۱] شمایی از این واکنش ها را برای سنتز پلی (L- لاكتاید) با وزن مولکولی بالا رانشان می دهد.



شکل ۱- مراحل تهیه پلی (L- لاكتاید) : (a) - تهیه دیمر حلقوی لاكتاید و (b)- واکنش پلیمریزاسیون حلقة گشای لاكتاید [۷]

انتخاب کاتالیزور در سنتز این پلیمر ها اهمیت زیادی دارد ، زیرا اغلب کاتالیزورها سمی هستند یا سمی نبودن آنها اثبات نشده است و اگر نتوان آنها را کاملاً از پلیمر سنتز شده خارج کرد، ممکن است استفاده از محصول توسط مراکز قانونی و بهداشتی ممنوع و محدود شود. این موضوع باعث شده است که محققان به دنبال استفاده از کاتالیزورهای غیر سمی یا با سمیت کمتر باشند . اکتنات قلع در حال حاضر پرصرف‌ترین کاتالیزور است، زیرا استفاده از آن در کاربردهای دارویی تأیید شده است [۹]. مکانیسم پلیمریزاسیون این پلیمر را می‌توان بر اساس نوع کاتالیزور به آنیونی [۱۰]، کاتیونی [۱۱-۱۲] یا کثوردیناسیون [۱۳-۱۵] دسته‌بندی نمود که با استفاده از مشتقات فلزات واسطه مانند قلع (Sn) مکانیسم پلیمریزاسیون از نوع جایگزینی کثوردیناسیونی (Insertion-Coordination Polymeization) است [۱۶]. این روش متداول‌ترین روش در تهیه پلی‌لاکتیک اسید (PLA) پلی‌گیلکولیک اسید (PGA)، پلی‌کاپرولاتون (PCL) و کوپلیمرهای آنهاست که در آن بازدهی و جرم مولکولی پلیمر زیاد است [۱۷]. پلی (L-لاکتاید) و پلیمر هابی مشابه آن را می‌توان توسط چهار فرآیند مهم پلیمریزاسیون شامل توده ای، مذاب، محلولی و تعليقی سنتز کرد [۱۸-۱۹]. در سنتز پلی L-لاکتاید و پلی استر های آلیفاتیک مشابه به روش پلیمر شدن توده مذاب، مشکل اصلی واکنش های تخریب حرارتی و افت وزن ملکولی در دمای واکنش است [۱۹]. بنابراین یافتن زمان و دمای بهینه سنتز اهمیت زیادی دارد. گزارش های موجود در این زمینه متناقض است لذا در این تحقیق علاوه بر تلاش برای دستیابی به تکنولوژی سنتز این پلیمرها ، به عنوان اولین پلیمر از این گروه، آزمایش هایی برای تعیین زمان و دمای بهینه برای سنتز پلی L-لاکتاید در حضور کاتالیزور اکتنات قلع طراحی و نتایج آن در این مقاله ارائه شده است.

## تجربی

**مواد :** منومر L-لاکتاید از شعبه شرکت آلمانی Boehringer- Ingelheim کشور فرانسه و کاتالیزور اکتنات قلع از شرکت Sigma ( آلمان ) تهیه شده و حلal های کلروفرم و متانول ساخت Merck ( آلمان ) برای تخلیص پلیمرها به کار رفته اند.

**دستگاه ها :** از دستگاه FTIR ( مدل HFS 48 ) ساخت شرکت BRUKER کشور آلمان برای بررسی خلوص منومرها و پلیمرها، از دستگاه کروماتوگرافی ژل تراوایی ( GPC ) مدل ISOC ساخت شرکت WATERS ( آمریکا ) برای تعیین وزن ملکولی پلیمرهای سنتز شده و از دستگاه گرماسنج پویشی-تفاضلی ( DSC ) مدل 1 PYRIS ساخت شرکت PERKIN-ELMER کشور انگلستان برای بررسی خواص پلیمرها استفاده شده است.

**روش سنتز:** منومر L-لاکتاید بسیار جاذب الرطوبه است لذا این منومر به همراه سایر مواد به سرعت وزن شده و درون لوله شیشه‌ای ( مانند لوله آزمایش ) به طول حدود ۳۰ سانتی متر ریخته شد. لوله توسط رابطی شیردار به خلاء وصل شده و پس از گذشت ۱۵-۲۰ دقیقه شیر رابط بسته شده و لوله شیشه‌ای از خلاء جدا شد. سپس با استفاده از حرارت ( در کارگاه شیشه‌گری ) در لوله کاملاً بسته ( سیل ) شده است. کپسول‌های خلاء حاوی مواد اولیه به مدت حدود ۱۰ دقیقه در دمای ۱۲۵ درجه ( بالاتر از نقطه ذوب تمام مواد ) در آون قرار داده شده و پس از اختلاط کل توده‌مذاب، کپسول‌ها برای شروع واکنش سنتز در دمای مورد نظر در حمام

روغن قرار داده شده اند. پس از گذشت زمان تعیین شده، کپسول ها از حمام روغن خارج شده و (برای جلوگیری از ادامه واکنش) سریعاً در فریزر سرد شده است. پس از اینکه کپسول کاملاً سرد شد آن را شکسته پلیمر را خارج نموده و در حلal کلروفرم (حلالی مناسب برای پلی لاکتايد) حل نموده و با استفاده از ضد حلal مтанول (با سه بار تکرار این مرحله) پلیمرها تخلیص شده اند. اندازه گیری های وزن ملکولی در حلal THF با دستگاه GPC، اندازه گیری های نقطه ذوب و دمای انتقال شیشه ای (Tg) با دستگاه DSC اندازه گیری شده اند.

## بحث و نتایج

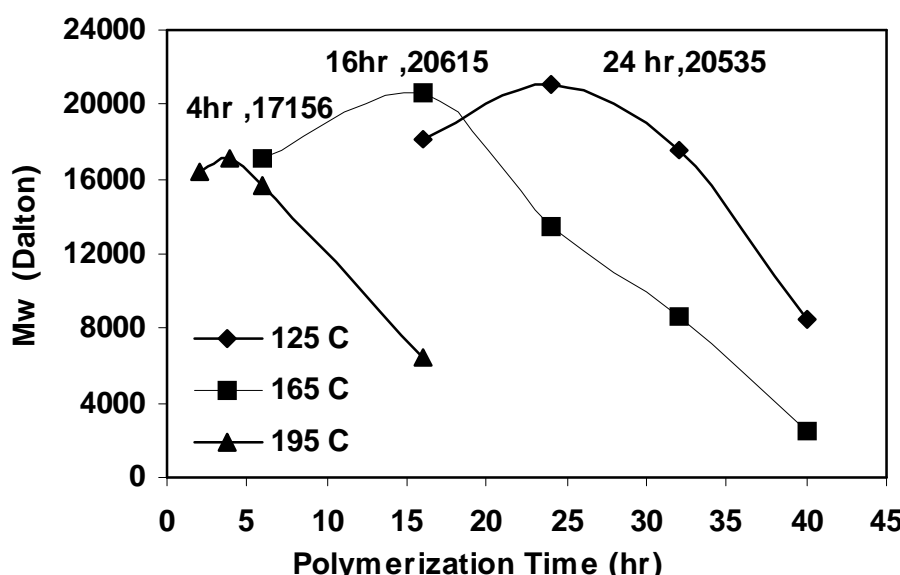
برای بررسی تاثیر زمان و دمای واکنش به طور همزمان و تعیین شرایط بهینه سنتز، پلیمرهایی با شرایطی که در جدول ۱ آمده است، سنتز شده و مشخصات آنها اندازه گیری شده است. لازم به ذکر است از آنجا که در اغلب مراجع ۰/۳ مول درصد اکتنات قلع به عنوان کاتالیزور به کار رفته است در این تحقیق غلظت کاتالیزور ثابت و برابر با این مقدار در نظر گرفته شده است. حداقل دما برای پلیمر شدن توده مذاب ۱۲۵°C در نظر گرفته شده است زیرا دمای ذوب منومر L-لاکتايد ۱۲۴/۵ درجه سانتیگراد بوده و در این روش منومرهای سایر مواد باید به حالت مایع باشند. لازم به ذکر است اکتنات قلع در دمای محیط مایع است. بالاترین دمای سنتز ۱۹۵°C در نظر گرفته شده است، زیرا در دمای بالاتر از آن امکان واکنش تخریب و تجزیه حرارتی بسیار بالا خواهد بود.

**جدول ۱- شرایط سنتز و مشخصات پلیمر L-لاکتايد در دمایها و زمان های مختلف**

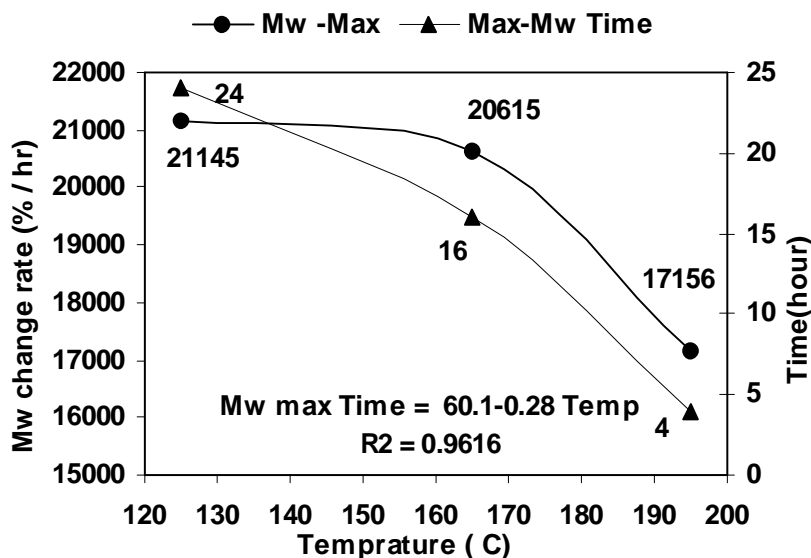
Tm (°C)	Tg (°C)	PDI	Mn	Mw	زمان (hr)	دما (°C)
۱۶۴/۵	۶۶/۲	۳/۸	۴۱۹۴	۱۶۳۴۲	۲	۱۹۵
۱۶۵/۹	۶۶/۴	۴/۷۵	۳۶۱۵	۱۷۱۵۶	۴	۱۹۵
۱۶۵/۳	۶۶	۳/۷	۲۸۵۰	۱۵۷۰۱	۶	۱۹۵
۱۳۹/۵	۶۳/۶	۲/۵	۲۵۶۴	۶۴۵۱	۱۶	۱۹۵
۱۶۶/۲	۶۶/۵	۲/۲۸	۷۵۲۳	۱۷۱۵۱	۶	۱۶۵
۱۷۵/۳	۶۸/۱	۳/۳	۶۲۴۲	۲۰۶۱۵	۱۶	۱۶۵
۱۶۴	۶۶	۲/۰۹	۶۴۲۵	۱۳۴۵۷	۲۴	۱۶۵
۱۴۵/۱	۶۴/۲	۱/۸۹	۴۵۶۷	۸۶۵۲	۳۲	۱۶۵
۱۳۷/۷	۵۹/۳	۱/۶	۲۳۴۶	۲۴۹۶	۴۰	۱۶۵
۱۶۳	۶۵/۸	۳/۴۴	۵۲۹۳	۱۸۲۰۹	۱۶	۱۲۵
۱۷۴/۱	۶۷/۲	۴.۵	۴۶۹۹	۲۱۱۴۵	۲۴	۱۲۵
۱۶۶/۲	۶۶/۷	۳/۸۷	۴۵۲۳	۱۷۵۲۴	۳۲	۱۲۵
۱۴۴/۷	۶۴/۲	۲/۲۶	۳۷۶۷	۸۵۲۳	۴۰	۱۲۵

همانطور که در شکل ۳ مشاهده می‌شود، در هر سه دما با گذشت زمان ابتدا وزن مولکولی (متوسط وزنی) افزایش یافته و پس از رسیدن به یک حداکثر، وزن مولکولی پلیمر حاصل افت می‌کند. دلیل این رفتار را می‌توان به غالب بودن واکنشهای تخریب پس از مدت زمان خاصی در هر دما نسبت داد. همانطور که پیش‌بینی می‌شد پلیمریزاسیون در دماهای پایین‌تر نیاز به زمان طولانی تری داد و نکته جالب این است که پلیمرهای سنتز شده در دماهای پایین‌تر (وزمان طولانی تر) وزن مولکولی بالاتری دارند. شکل ۴ حداکثر وزن مولکولی بدست آمده در هر دما و مدت زمان لازم برای سنتز این پلیمر را نشان می‌دهد. همانطور که مشاهده می‌شود مدت زمان واکنش و حداکثر وزن مولکولی بدست آمده با افزایش دمای سنتز کاهش می‌یابند نکته جالب توجه این است که تغییرات زمان دستیابی به حداکثر وزن مولکولی با دمای واکنش تقریباً خطی است و به عنوان مثال می‌توان پیش‌بینی کرد در دمای  $15^{\circ}\text{C}$  در مدت زمان حدود ۱۸/۱۱ ساعت و در دمای  $180^{\circ}\text{C}$  در مدت زمان حدود ۹/۷۱ ساعت، حداکثر وزن مولکولی بدست می‌آید.

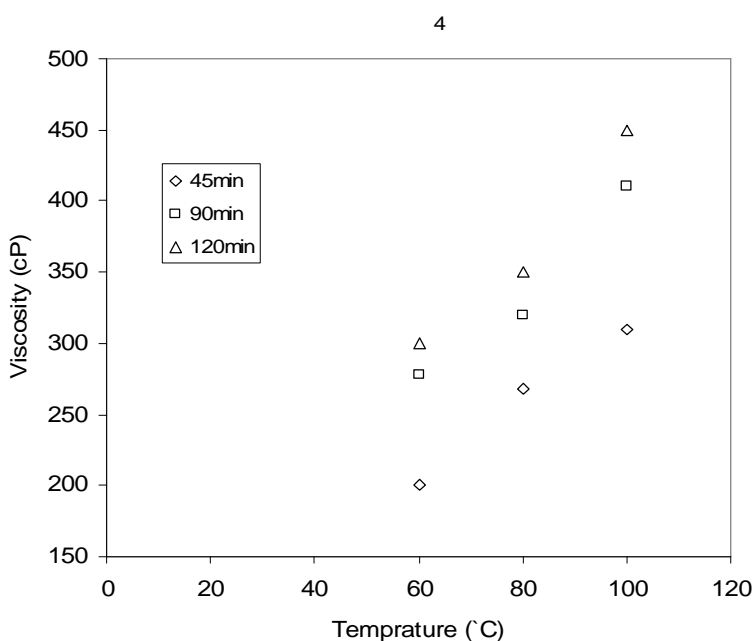
متوجه سرعت افزایش وزن مولکولی قبل از دستیابی به حداکثر وزن مولکولی تحت عنوان سرعت polymerization و متوجه سرعت کاهش وزن مولکولی پس از دستیابی به این وزن مولکولی به عنوان سرعت de-polymerization از اطلاعات بدست آمده استخراج شده و در شکل ۵ نشان داده شده است. می‌توان دید که با افزایش دمای واکنش سرعت هر دو مرحله افزایش می‌یابد اما این افزایش در دمای  $195^{\circ}\text{C}$  نسبت به دو دمای دیگر محسوس‌تر است. ضمناً میزان افزایش در سرعت افت وزن مولکولی depolymerization بیشتر است. این موضوع احتمالاً به این دلیل است که در دمای  $195^{\circ}\text{C}$  بر عکس در دمای دیگر پلیمر حاصل به حالت کاملاً مذاب قرار دارد. زیرا دمای واکنش از نقطه ذوب پلمر بالاتر است. بنابراین منطقی است که سرعت هر دو واکنش سنتز و تخریب بیشتر از دو دمای دیگر باشد.



شکل ۲- تاثیر دما و زمان واکنش بر متوسط وزنی وزن مولکولی پلی (L-لکتايد).



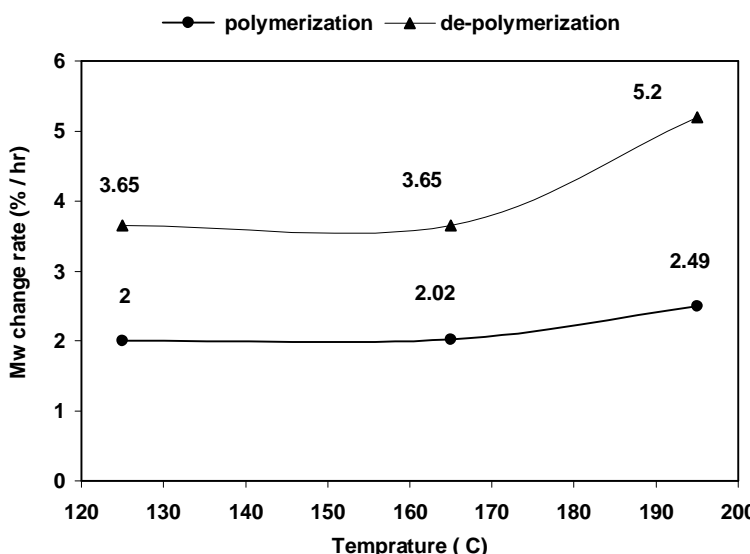
شکل ۳- حداکثر وزن مولکولی بدست آمده در هر دما و مدت زمان لازم



شکل ۴- تاثیر دما و زمان فرایند بروی ویسکوزیته محلول ۱٪ پلیمری با اسپیندل  $R_3$

تاثیر ضد حلحل متانول؛ برای مقایسه دو روش خشک کردن (ترسیبی و حرارتی) از متانول استفاده شد. شکل ۵ نشان دهنده درجه خشک شدن بر حسب مقدار متانول مورد مصرف می باشد. زمانیکه مقدار حجمی ضد حلحل ۱۰ برابر حلحل پلیمر باشد خشک شدن کامل می شود. به محض افزودن متانول، مونومرها و آغازگرهای باقی مانده در متانول حل شده و از پلیمر جدا می شود بنابر این در مقادیر کم متانول نیز واکنش شبکه ای شدن اتفاق نمی افتد.

شکل ۶ نشان دهنده ویسکوزیته محلولهای پلیمری بر حسب مقدار متانول می باشد. به علت عدم حضور ژل در سیستم، ویسکوزیته محلولهای پلیمری در این حالت کمتر از شرایط خشک کردن گرمایی می باشد. با افزایش مقدار متانول ویسکوزیته افزایش می یابد زیرا ضد حلal علاوه بر مونومرها الیگومرها را نیز در خود حل می کند با خروج زنجیرهای با جرم مولکولی کم از سیستم، میانگین جرم مولکولی پلیمر نهایی افزایش یافته بنابراین ویسکوزیته محلولهای پلیمری افزایش می یابد [۹].

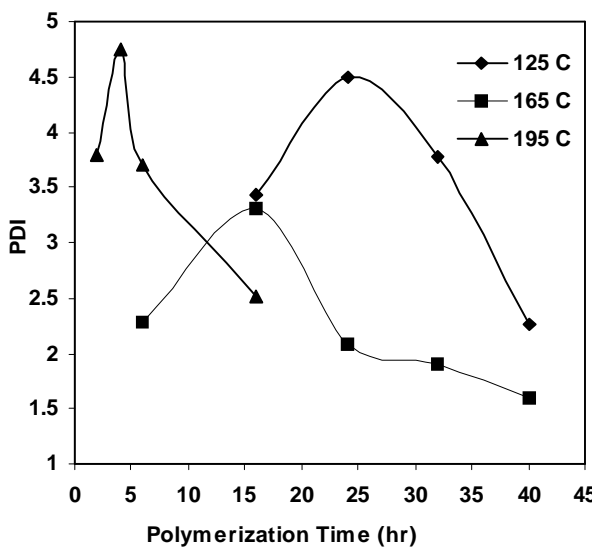


شکل ۵- متوسط سرعت افزایش وزن مولکولی قبل از دستیابی به حداکثر وزن مولکولی (polymerization) و متوسط سرعت کاهش وزن مولکولی پس از دستیابی به این وزن مولکولی (de-polymerization)

نکته جالب توجه این است که در همه دماها سرعت افت وزن مولکولی بیشتر از سرعت افزایش آن است و در دمای ۱۹۵°C این تفاوت مشهودتر است بطوری که نسبت سرعت افزایش وزن مولکولی به سرعت افت وزن مولکولی یا به عبارتی واکنش پلیمریزاسیون به واکنش تخریب در دماهای ۱۲۵°C و ۱۶۵°C حدود ۱/۸ است اما در دمای ۱۹۵°C این نسبت به ۲ می‌رسد. بنابراین در محدوده دمایی ۱۲۵°C تا ۱۶۵°C که عمدتاً دمای واکنش زیر دمای ذوب پلیمر است سرعت واکنش پلیمریزاسیون و واکنش تخریب تقریباً ثابت است اما با بالاتر رفتن دما احتمال واکنش‌های تخریب بیش از پلیمریزاسیون است.

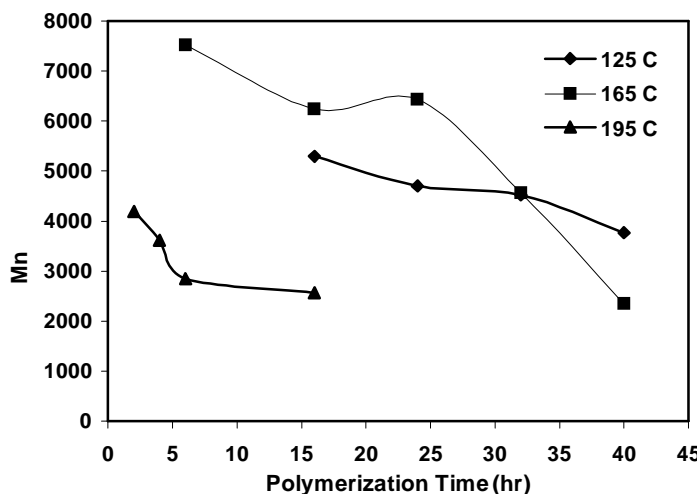
از مجموع مدت زمان ۴ ساعت در دمای ۱۹۵°C و ۱۶ ساعت در دمای ۱۶۵°C و ۲۴ ساعت در دمای ۱۲۵°C برای دستیابی به حداکثر وزن مولکولی مناسب به نظر می‌رسند. در این زمانها سرعت واکنش پلیمریزاسیون در بیشترین مقدار خود قرار دارد، بنابراین زنجیرهایی با طولهای متفاوت تشکیل می‌شود که با گذشت زمان و غلبه کردن واکنشهای تخریب حرارتی مقدار آنها افزایش می‌یابد. بنابراین همانطور که در شکل ۶ دیده می‌شود. در همه دماها در توزیع وزن مولکولی (PDI) یعنی نسبت  $M_w/M_n$  یک حداکثر دیده می‌شود و بنابراین منطقی است که در متوسط عددی وزن مولکولی تغییر زیادی وجود نداشته باشد و حتی یک روند

کاهشی دیده شود که در صورت عدم وجود اطلاع از توزیع وزن مولکولی غیر منطقی به نظر می‌رسد (شکل ۷).

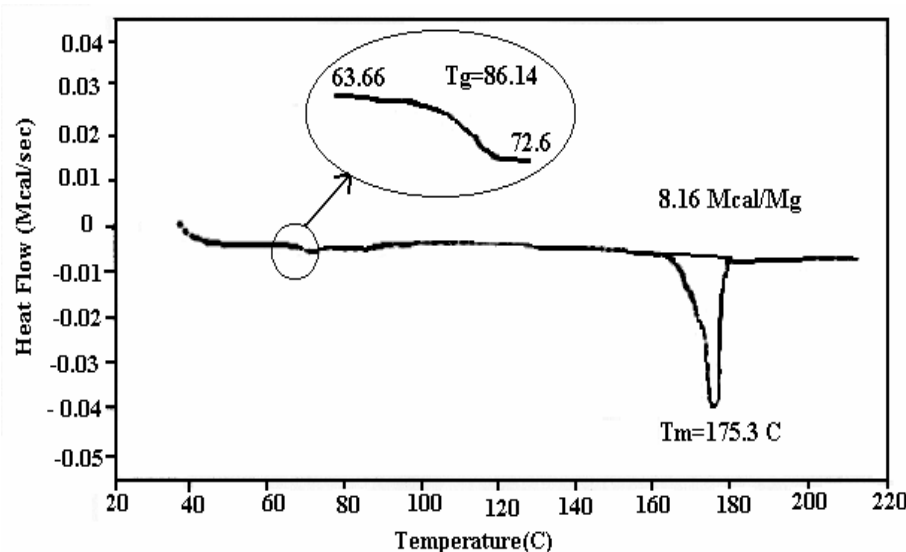


شکل ۶- تاثیر دما و زمان واکنش بر توزیع وزن مولکولی پلی (L-لاکتايد).

نکته جالب توجه این است که در دمای ۱۶۵°C هرچند توزیع وزن مولکولی از روند فوق‌الذکر پیروی می‌کند اما PDI نسبت به هر دو دمای دیگر عدد کمتری دارد و به عبارت دیگر پلیمرهای سنتز شده در دمای ۱۶۵°C توزیع وزن مولکولی باریک‌تری دارند. احتمالاً دلیل این موضوع نزدیک بودن دمای سنتز به دمای ذوب پلیمرهاست که در نتیجه آن سرعت واکنش پلیمریزاسیون بیشتر از دمای ۱۲۵°C است در حالی که دمای واکنش آنقدر بالا نیست که احتمال شکست زنجیره‌ها بیش از پلیمریزاسیون باشد نتیجه آن پدیده آن است که متوسط عددی وزن مولکولی در دمای ۱۶۵°C توزیع وزن مولکولی باریک‌تری دارند. احتمالاً دلیل این موضوع نزدیک بودن دمای سنتز به دمای ذوب پلیمرهاست که در نتیجه آن سرعت واکنش پلیمریزاسیون بیشتر از دمای ۱۲۵°C است در حالی که دمای واکنش آنقدر بالا نیست که احتمال شکست زنجیره‌ها بیش از پلیمریزاسیون باشد. نتیجه این پدیده آن است که متوسط عددی وزن مولکولی در دمای ۱۶۵°C در مدت زمان ۵ تا ۳۲ ساعت بیشتر از پلیمرهای سنتز شده در دو دمای دیگر است. تغییرات دمای ذوب و دمای انتقال شیشه‌ای Tg این پلیمرها نیز با استفاده از دستگاه DSC اندازه‌گیری شده است، شکل ۸- ترموگرام DSC یکی از این پلیمرها را نشان می‌دهد.

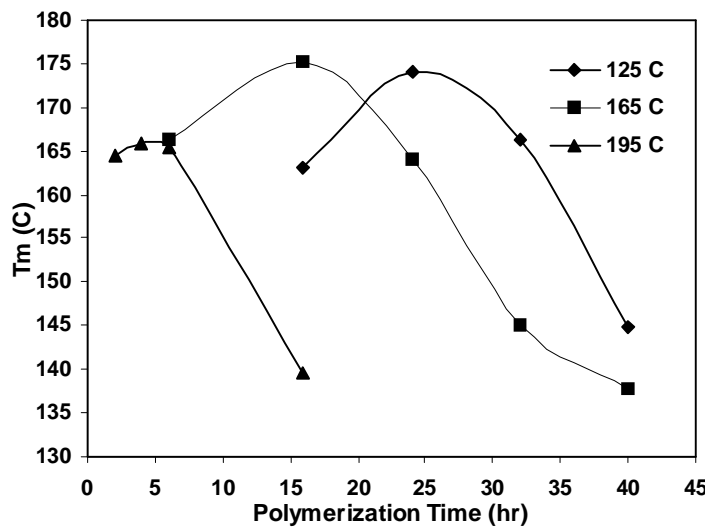


شکل ۷- تاثیر دما و زمان واکنش بر متوسط عددی وزن مولکولی پلی (L-لاکتاید)

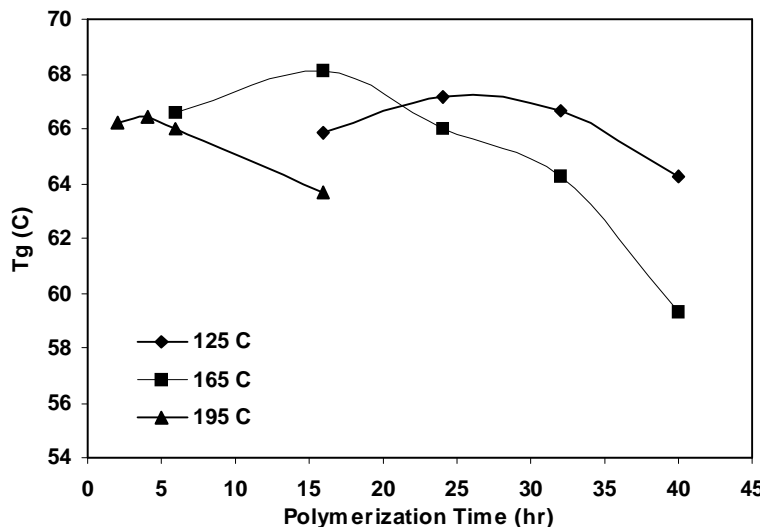


شکل ۸- ترموگرام DSC پلی (L-لاکتاید) ( سنتز شده در دمای ۱۶۵ درجه سانتی گراد و به مدت ۱۶ ساعت)

نقطه ذوب پلی (L-لاکتاید) در مراجع مختلف از دمای ۱۶۰ تا ۱۸۰ درجه سانتیگراد گزارش شده است. و دلیل این تفاوت‌ها، وزن مولکولی پلیمر است و همانطور که در شکل ۹ مشاهده می‌شو با گذشت زمان واکنش و افزایش وزن مولکولی دمای ذوب پلیمرها افزایش می‌یابد و با شروع واکنشهای تخریب و افت وزن مولکولی دمای ذوب پلیمر نیز کاهش می‌یابد و در نمونه‌هایی که وزن مولکولی پلیمر حاصل بدلیل واکنشهای تخریب کمتر از ۱۰۰۰۰ و استون است، یعنی پلیمرهای ردیف ۴ (مدت زمان ۱۶ ساعت در ۱۹۵°C)، ردیفهای ۹و۸ (مدت زمان ۳۲ و ۴۰ ساعت در ۱۶۵°C) و ردیف ۱۳ (مدت زمان ۴ ساعت در ۱۲۵°C)، نقطه ذوب افت بسیار شدیدی داشته مرزها در شکل‌های ۹و۳ مشخص شده‌اند و تا ۱۳۵°C نیز رسیده است که با توجه به وزن مولکولی بسیار پایین آنها اطلاق واژه الیگومر به آنها صحیح‌تر است و همین موضوع نقطه ذوب بسیار پایین آنها را توجیه می‌کند.



شکل ۹- تاثیر دما و زمان سنتز بر نقطه ذوب پلیمر



شکل ۱۰- تاثیر دما و زمان سنتز بر دمای انتقال شیشه‌ای پلیمر

در مورد تغییرات دمای انتقال شیشه‌ای  $T_g$  هم همین روند مشاهده می‌شود و با افزایش وزن مولکولی قدرت حرکت زنجیره‌های پلمری کم شده و  $T_g$  افزایش می‌یابد، اما این تغییرات بسیار کمتر است بعلاوه در نقاطی که وزن مولکولی حداکثر مقدار خود را دارد توزیع پهن وزن مولکولی باعث شده است که مولکولهای کوچکتر نقش نرم کننده را ایفاد کرده و افزایش زیادی در دمای انتقال شیشه‌ای مشاهده نشود. دمای  $T_g$  پلیمرهای سنتز شده در محدوده ۶۵ تا ۶۹ درجه سانتیگراد قرار دارد و دماهای  $T_g$  پایین‌تر مربوط به الیگومرهایی است که قبلاً به آنها اشاره شد.

## نتیجه‌گیری

در سنتز پلی (L-لاستیک اسید) یابه عبارت صحیح‌تر پلی (L-لاکتايد) به روش پلیمریزاسیون توده مذاب انتخاب دما و زمان سنتز اهمیت بسیار زیادی دارد زیرا در دمای سنتز تخریب حرارتی پلیمر منجر به افت وزن مولکولی می‌شود. در هر دمایی با گذشت زمان وزن مولکولی متوسط وزنی افزایش می‌یابد و پس از مدت زمان خاصی واکنش‌های تخریب حرارتی منجر به افت وزن مولکولی می‌شوند در این زمان گستردگی وزن مولکولی بیشترین تعداد خود را داراست.

حداکثر وزن مولکولی با افزایش دمای واکنش، کاهش می‌یابند البته زمانی که دمای واکنش پایین‌تر از نقطه ذوب پلیمر باشد حداکثر وزن مولکولی تغییرات زیادی با دمای واکنش ندارد. زمان رسیدن به حداکثر وزن مولکولی با افزایش دمای واکنش کم می‌شود و از روند خطی مناسبی برخوردار است که امکان تخمین زمان لازم برای واکنش در دماهای دیگر را فراهم می‌آورد.

دمای انتقال شیشه‌ای و نقطه ذوب این پلیمرها با وزن مولکولی آنها رابطه مستقیم داشته و به ترتیب در محدوده  $65-69^{\circ}\text{C}$  و  $160-180^{\circ}\text{C}$  قرار دارند. البته علاوه بر این که تغییرات  $T_g$  کمتر از نقطه ذوب است توزیع وزن مولکولی نیز بر آن تأثیر دارد. در دماهای پایین‌تر از نقطه ذوب، دمای واکنش تأثیر چندانی بر تخریب پلیمرها ندارد و همچنین حداکثر وزن مولکولی ندارد. در حالی که مدت زمان لازم برای دستیابی به حداکثر وزن مولکولی بسیار زیاد است. از آنجا که معمولاً امکان انجام واکنش در مدت زمان طولانی وجود ندارد دماهای واکنش بالای نقطه ذوب پلیمرها پیشنهاد می‌گردد. مدت زمان ۴ ساعت در دمای  $195^{\circ}\text{C}$  برای این منظور مناسب‌ترین شرایط بررسی شده در این تحقیق است. البته در این دما و دماهای بالاتر از نقطه ذوب پلیمر واکنش‌های تخریب شدت سنتزی دارند. در صورتی که سنتز پلیمرهایی با توزیع وزن مولکولی باریک مد نظر باشد دمای  $165^{\circ}\text{C}$  (و زمان ۱۶ ساعت) مناسب است.

## منابع و مراجع

1. j. Seppala, Biodegradable lactone copolymers. 1. Hydrolytic study of ε-Coprolactone and lactide copolymers, *Journal of Applied Polymer Science*, 59, 1289-1298, (1996).
2. Soming Li, Michel Vert, Biodegradebe Polymers: Polyesters, *Encyclopedia of Controlled Drug Delivery*, Volume 1:71, (1999).
3. Xue shen Wu, Encydopedic Handbook of Biomaterials and bioengineering part A: Materials, Volume: 2: 1016, (1995).
4. Tabata, Y., et al., A formulation method using D, L-lacticacid oligomers for protein release with reduced initial burst, *J. controlled Rel.*, 23: 55-64, (1993).
5. Sakakura, C., et al. controlled release of cisplatin from lactic acid oligomer microspheres in corporating cisplatin: In vitro studies, *J. Controlled Rel.*, 22: 64-74, (1992).
6. Wada, R., et al., salt formation of lactic acid oligomers as matrix for sustained release of drugs, *J. pharm. Pharmacol.*, 43: 605-608, (1991).
7. M.V.Pishko,etal., Ring –opening pericipitation polymerization of poly(L,D-lactide-co-glycolide) in supercritical carbon dioxide, *Macromol. Rapid Commun.*, 20:511-514, (1999).
8. Yosho Ikada, etal., Synthesis of polylactides different molecular weights , *Biomaterials* ,18:1503-1508, (1997).
9. J.Coudane, et al., more about the polymerization of lactides in the presence of Stannous Octoate, *J. Polymer Sci. partA* , 35:3431-3440, (1997).
10. Zbigmiew Jedlin ski and wojciech watach, polymerization of lactones, 12: polymerization of L-dilactide an L, D-di lactide in presence of potassium methoxide, *Makromol .chem.*, 192: 2051-2057, (1991).
11. AJ Penning, A.J. Nijenhuis, D.W. Grupma ,Lewis acid catalysed polymerization of L-Lactide, Kinetics and Mechanism of the bulk polymeization, *macromolecules*, 25:6419-6424, (1992).
12. Eric J. Goethals, Tailored Polymers By Cationic Ring-Opening Polymerization: Scope and Limitations based on mechanistic Aspect, *Macromol. Chem., Macromol-Symp.*, 42/43: 51-68, (1991).
13. Janusz Kasperczyk et al., Coordination polymerization of lactide S, 3-copolymerization of L, L-lactide and ε-caprolactone in the presence of initiators containing Zn and Al, *Makromol. Chem.*, 194: 907-912, (1993).
14. M.Vert, et al., Ring Opening Polymerization of D, L-Lactide in the presence of Zix Metal and Zinc Lactate, *polymer International*, 46 :177-182, (1998).
15. Nicolas Ppassky, et al., Highly Stereoselective Polymerization of rac-(D,L)- Lactide with a chiral Schiff's base) Aluminium alkoxide initiator , *Macromol. chem. Phys.* 197: 2627-2637, (1996).
16. Kimb. Mcauly, Mechanism of Lactide polymerization in the presence of stannous Octocate: the effect of Hydroxy and Carboxylic Acid Substances, *Journal of polymer Science: Part A: Polymer chemistry*, 32: 2965-2970, (1994).
17. G. Schwach, J coudane, R. Engeland M.Vert, Zn lactate as initiatot, of DL-Lactide ring opening polymerization and coparison with Sn-Octoate, *Polymer Bulletin*, 37:771-776, (1996).
18. S.Jacobsen, et al., Polylactide (PLA)- a new way of production , *Polymer Eng. And Sci.*, vol. 39, 7:1311-1319, (1999).
19. M.Vert, et al., Something new in the field of PLA/GA Bioresorbable Polymers , *Journal of Controlled Release*, 53 :85-92, (1998).